

## 水路狭窄部の局所洗掘について(第2報)

日本大学理工学部 正員 粟津清藏

§1. まえがき: 局所洗掘の approach として著者は 2 つの方針、1) step-by-step method, 2) equilibrium-conditional method を提案し、昨年は狭窄部の局所洗掘に対する 1) step-by-step method の有効性を示すことを示し、次の結果が導かれた[1]。

a) 洗掘発生限界について。

$$H_{n*} = 0.990 \left\{ \frac{Q}{4.4(1-K)D_{bc}} + (1.75K + 0.745) \right\}^{0.987} \quad (1)$$

ここで  $H_n = h_n / P_c$ ,  $h_n$ : normal flow の水深,  $P_c$ : 限界水深,  $Q = (Qg/d_b)^{1/2}$ ,  $K = 2d/b$ ,  $D_{bc}$ : critical bed load.

最も安全側を考えると、係数  $0.990 \pm 1.10$  とすればよ。

b) 平衡洗掘深について; clear water scour の場合。

$$\frac{h_n + d_{se}}{P_c} = H_n + D_{se} = 0.838 H_{n*} \quad (2)$$

ここで  $d_{se}$  は初期移動床面からの洗掘深で、最も安全側を考えると、係数  $0.838 \pm 0.952 \pm 1.00$  とすればよ。今回の発表は equilibrium-conditional method による approach についての報告である。

[1] 土木学会第36回年次講演会概要、日本大学工学部第24回研究発表報告会要旨集を参考せられた。

から、予測される局所洗掘部分の移動床表面は sediment motion に対して平衡の状態にある、一方、平衡を scour hole の表面もまた平衡の状態にある、したがって、洗掘発生限界と平衡を scour hole の移動床表面は共に力学的に平衡であると考えられる。

安芸河床水路の設計基準は Regime theory によって考え方があることが良く知られており、そこで「洗掘発生限界と平衡と scour hole の水深は局所流の性質を考慮することによって」、E. 規則は regime depth と關係づけられるかも知れない、この発想に基いて、regime theory の概念の適用によって局所洗掘への approach は 2) equilibrium-conditional method となる。

a) Lacey's regime depth

安芸河床水路の水深  $\pm$  regime depth とよび、Lacey によると次のよう示される。

$$\begin{aligned} f &= 0.910 (Q^2/f)^{1/3}, \text{ m-unit} \\ f &= 2.44 \left\{ d_m (\text{mm}) / 25.4 \right\}^{1/2}, \text{ m/s} \end{aligned} \quad (3)$$

b) 洗掘発生限界

水路狭窄部の単位幅当たりの流量は次のよう示される。

$$\frac{Q}{b_0 - 2d} = \frac{Q/b_0}{1-K} = \frac{Q}{1-K} \quad (4)$$

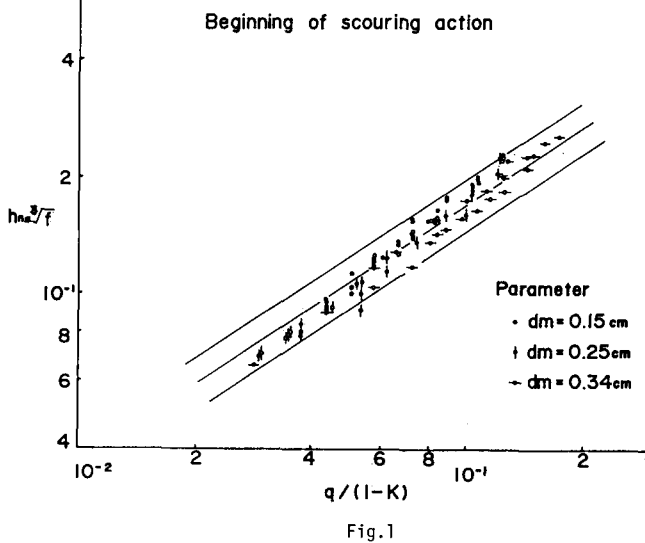
洗掘発生限界の normal flow における水深  $P_{n*}$  は式(3), (4)より、 $f(P_{n*}^3/f, Q/1-K) = 0$  によって示され、実験資料を用いて plot すると Fig. 1 と次の式が得られる。

$$P_{n*}^3/f = 0.798 \left( \frac{Q}{1-K} \right)^{2/3} \quad (5)$$

c) 平衡洗掘深

平衡洗掘深  $P_n + d_{se}$  は regime depth と等しく、実験資料を plot すると Fig. 2 と次の式が得られる。

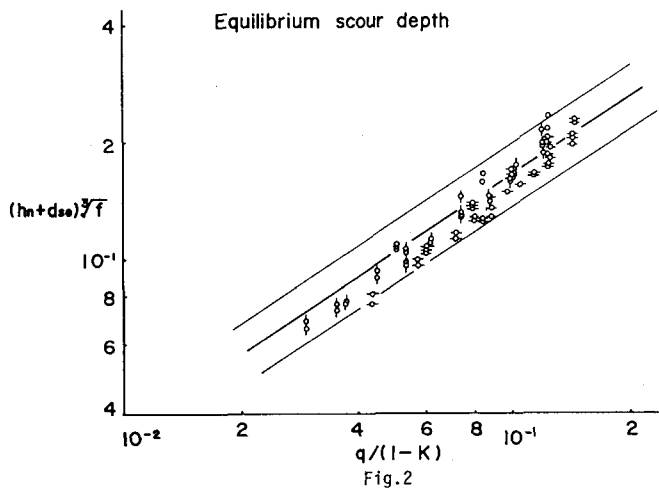
$$(P_n + d_{se})^3/f = 0.766 \left( \frac{Q}{1-K} \right)^{2/3} \quad (6)$$



### §2. Equilibrium-conditional Method

洗掘発生限界は non-scour or upper limit の状態である。

Figs. 1 + 2 は同じくように、洗掘発生限界と平衡洗掘深とは regime theory の概念に基づいて same category に含



されることを推論される、この推論は Fig. 3 によって確認される。

d) Equilibrium-conditional method  
に対する検討。

局所洗掘に関するこの方法と確立されたものは、次の2つの項目について検討する。

i) 洗掘現象と Lacey の regime depth との関係。

洗掘発生限界と平衡洗掘深の現象はこの方法に従うと same category に含まれるが、直接 Lacey の regime depth と比較することは、すべての資料は Fig. 4 の plot を用いて、この図におこなう最も安全側を考慮した式と式

(4) と式(3)を代入した式と比較すると Lacey の regime depth と洗掘発生限界の水深並んで、平衡洗掘深と normal flow の自由水面から測った水深とは一致することが理解される。

したがって、normal flow の水深を考慮することによって、regime theory の概念が局所洗掘へ適用することができる確認される。

ii) Step-by-step method と Equilibrium-conditional method との関係。

同一実験資料を用いて、2つの異なる概念に従って狭窄部の局所洗掘現象を解析したので、当然同じ結果が得られるべきであるが、この表について検討する。

狭窄部設置における normal flow の限界水深は  $h_c = \sqrt{dt/dg} q^{2/3}$  によって決定されるが、Fig. 4 によると

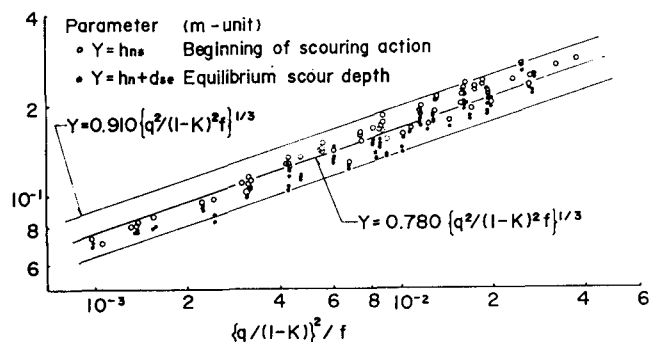
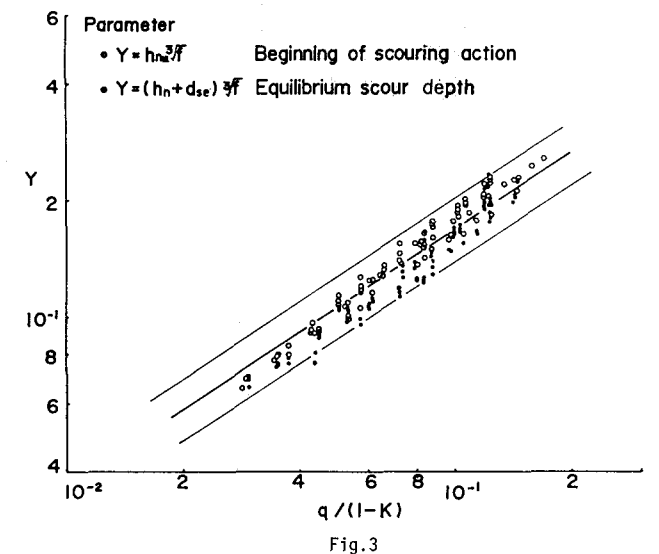
$$\frac{h_m}{h_c} = 0.780 \left\{ \frac{q}{d(1-K)^2 f} \right\}^{1/3}$$

$$h_n + d_{se} = 0.780 \left\{ \frac{q}{d(1-K)^2 f} \right\}^{1/3} h_c$$

したがって、次の関係が得られる。

$$\frac{h_m}{h_c} = \frac{h_n + d_{se}}{h_c} \quad \text{or} \quad H_m = H_n + D_{se}$$

式(2)の安全側を考えたときと、同一結果が得られる。



§3. まとめ： 水路狭窄部の局所洗掘の approach として次の二つが得られる。 1) 著者の提案による 2) 方法は局所洗掘現象への approach として有効な方法である。 2) 局所洗掘現象において、洗掘発生限界の現象は工学的取り扱いにおいて非常に重要な現象である。